

京都大学防災研究所 正員 野田英明

1. はしがき

波によって浮遊する底質の濃度分布を算定しようとする場合、一般に波の一周期に対する平均濃度によって表わす方法がとられてきた。本間・堀川¹⁾および岸ら²⁾はこうした方法によって浮遊底質の濃度分布を算定し、すでに多くの成果を発表している。これらの研究は浮遊底質の濃度分布に関する基礎方程式を波の一周期について平均し、かつ拡散係数にある仮定を行なって濃度分布を決定しようとするものであった。しかし、波動運動のもとでの乱れの構造が明らかでない現在、拡散係数に対する仮定が妥当なものであるかどうかを検討する問題である。

そこで著者はこの研究で、波の一周期について平均した場合の浮遊底質に関する基礎式について再考し、さうに重複波による実験ならびに現地観測の結果から拡散係数の値を推定し、波による底質の浮遊構造を検討しようとしたものである。

2. 波による浮遊底質の濃度分布に関する基礎方程式

一般に、浮遊底質の濃度分布に関する基礎方程式は2次元の場合、

$$\frac{\partial C}{\partial t} + u \frac{\partial C}{\partial x} + w \frac{\partial C}{\partial z} = \frac{\partial}{\partial x} (\bar{E}_x \frac{\partial C}{\partial x}) + \frac{\partial}{\partial z} (\bar{E}_z \frac{\partial C}{\partial z}) + w_0 \frac{\partial C}{\partial z} \quad (1)$$

と表わされる。ここに、 Z は水底から鉛直上向きにとった高さ、 x は水平距離、 C は浮遊底質の濃度、 w_0 は沈降速度、 \bar{E}_x および \bar{E}_z はそれぞれ、 x 、 Z 方向の拡散係数、 u および w はそれぞれ、 x 、 Z 方向の波による流体の速度成分である。本間・堀川・底島が光電管式濃度計を測定した結果によると、波をおこし、10波程度になると、図-1のよう、濃度は周期的に変化することを確かめた。したがつて、いま、この実験結果と参照して、浮遊底質の濃度を、

$$C(x, z, t) = \bar{C}(x, z) + C'(x, z, t)$$

と仮定し、これを(1)式に代入して、一周期の平均をとると、

$$\frac{\partial}{\partial x} (\bar{E}_x \frac{\partial \bar{C}}{\partial x}) + \frac{\partial}{\partial z} (\bar{E}_z \frac{\partial \bar{C}}{\partial z}) + w_0 \frac{\partial \bar{C}}{\partial z} = \alpha \quad (2)$$

$$u \frac{\partial \bar{C}'}{\partial x} - \frac{\partial}{\partial x} (\bar{E}_x \frac{\partial \bar{C}'}{\partial x}) + w \frac{\partial \bar{C}'}{\partial z} - \frac{\partial}{\partial z} (\bar{E}_z \frac{\partial \bar{C}'}{\partial z}) = \alpha \quad (3)$$

となる。ここに \bar{C} は一周期の平均を表わし、 α は定数であるが、水面の条件を考慮すると $\alpha=0$ となる。さらに、進行波の場合に

\bar{C} は Z のみの関数と考えることができるから、(2)式左辺第1項は落とすことができる。したがつて、(2)式は波動運動の場合の平均濃度分布を表わす式であつて、(3)式は図-1に示す周期的变化の振幅 $C'm$ の分布を表わす式と考えることができる。岸は(2)式で表わされる平均濃度に対し、 \bar{E}_z を Z のみの関数として取り扱かっているが、本間・堀川らは平均濃度の算定にあたつて、(3)式左辺第4項を

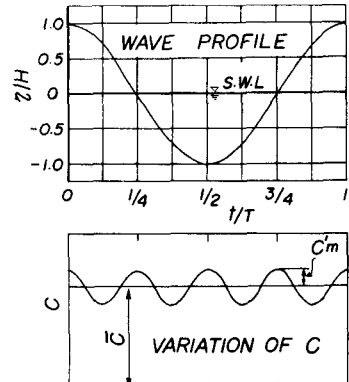


図-1 浮遊底質の濃度の周期的变化

(2) 式に含めて取り扱かっている。しかがつて、その結果はかなうずしも平均濃度を表わしているとはいえないが、拡散係数の仮定のさいに用いた実験定数の中に含まれ、結果的には平均濃度に直接影響を及ぼしていない。現在(3)式の取り扱かいについては十分検討していいないので、ここでは平均濃度に廻する(2)式について検討する。

3. 重複波による底質の浮遊に関する実験

実験は波として重複波を用い、底質として塩化ビニール粒を用いた。その特性は

中央粒径 0.13 mm , 比重 1.15 , 沈降速度 0.1 cm/s (10°C)

である。実験方法は水深 h を一定(重複波であるので、水槽の長さと節の数によって波の周期も決定される)にして、波高を順次大きくする方法によった。実験での水深は $h=10, 20$ および 30 cm の3種とし、浮遊底質の濃度は重複波の節にあたるところで鉛直分布を測定した。図-2は $h=30\text{ cm}$ の場合の浮遊底質の平均濃度を示すものである。なお表-1は実験に用いた波の特性を示す。

表-1 波の特性

NO.	$H(\text{cm})$	$T(\text{sec})$
1	8.0	1.10
2	10.0	1.10
3	11.7	1.10
4	15.1	1.10
5	18.7	1.10

重複波の場合、(2)式において $\frac{\partial}{\partial x} (\bar{E}_z \frac{\partial \bar{C}}{\partial z})$ を落とすことはできないが、一応 \bar{E}_z の値は小さいものとして無視し、平均濃度に廻し、

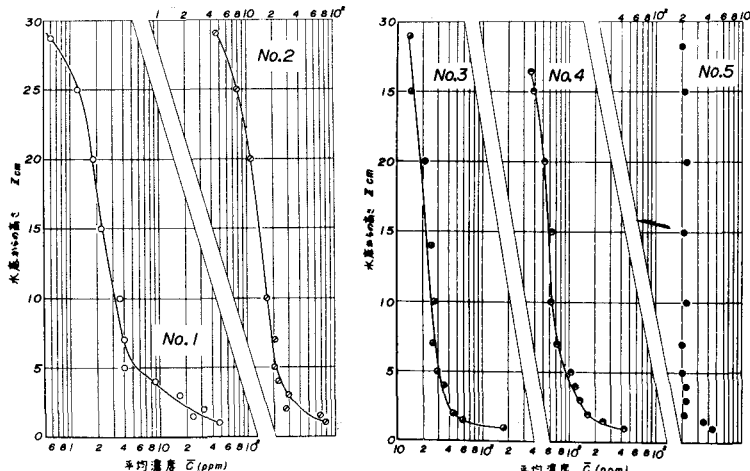


図-2 浮遊底質の平均濃度の鉛直分布

$$\frac{\partial}{\partial z} (\bar{E}_z \frac{\partial \bar{C}}{\partial z}) + w_o \frac{\partial \bar{C}}{\partial z} = 0 \quad (4)$$

が成り立つものとして取り扱かう。もし \bar{E}_z が一定であれば、浮遊底質の鉛直方向の濃度分布は図-2において直線となるはずである。しかし実験から得られた分布は明らかに直線とはいいがたく、一般に底面付近の濃度が大きくなる。また、実験結果から明らかのように、波高が増大すると、浮遊底質の濃度も増加する傾向がみえる。とくに、No. 5 の濃度分布は、底面付近を除いて、水面まで、ほぼ一様であるのがみられる。水深 30 cm の場合、重複波の碎波限界は $H_b = 23.8\text{ cm}$ で与えられる。No. 5 の波の特性は表-1に示したが、この場合の波高は 18.7 cm と限界波高に近く、このような状態での乱れは他の場合と非常にことなるよう思う。なお $h=10$ および 20 cm の場合も、実験結果は、 $h=30\text{ cm}$ の場合とはほぼ同様である。

4. 大潟海岸における浮遊砂の濃度

京都大学防災研究所大潟波浪観測所のある大潟海岸には、図-3に示すような長大橋がある。この

棧橋は長さ 314.5 m で、先端の水深は約 6 m であり、W.1 ~ W.6 の地点に階段抵抗式波高計が設けられている。浮遊砂の観測はこの棧橋を利用し、波高計の設置された位置の近くで行なった。浮遊砂の測定には、採水器と従来から用いられていい竹竿サンドトラップとを併用した。観測の目的は自然海岸における浮遊砂濃度を測定し、波の特性との関連を調べ、実験結果と比較することおよび竹竿サンドトラップによる捕砂量と浮遊砂濃度との関連を調べることであった。観測は1967年1月16日から1月20日まで行なつたが、この期間中の波の特性を示すと図-4のようである。図中の下端に示した数字 NO.1~13 は竹竿サンドトラップによる観測を示すものである。

図-5および図-6はそれぞれ W.6 の竹竿サンドトラップによる浮遊砂量と採水器による浮遊砂濃度の鉛直分布を示す一例であって、図中にはそれぞれの高さにおける平均粒径も示してある。竹竿トラップによる捕砂量は最終碎波点より沖側であるが、いわゆる「く」の字型分布を示していない。しかし浮遊砂濃度の分布形とはほぼ同じ傾向がみられるのは興味深い。竹竿トラップによる捕砂量と浮遊砂濃度との関連を明らかにするためには、同一地点で同時観測を行なわねばならない。さらに観測期間中の波の条件はほぼ一定であることも必要である。このような条件下になかつた観測期間は図-4からも明らかのように、NO.6と11、NO.7と12、13である。このときの浮遊砂濃度と単位時間あたりの捕砂量との関係を示したのが図-7である。この図の縦軸と横軸は次元がことなるため、直接比較することはできないが、図

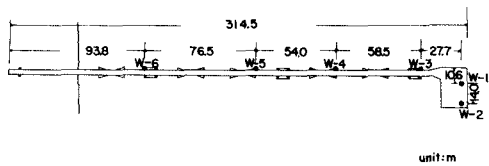


図-3 大島波浪観測所長大棧橋平面図

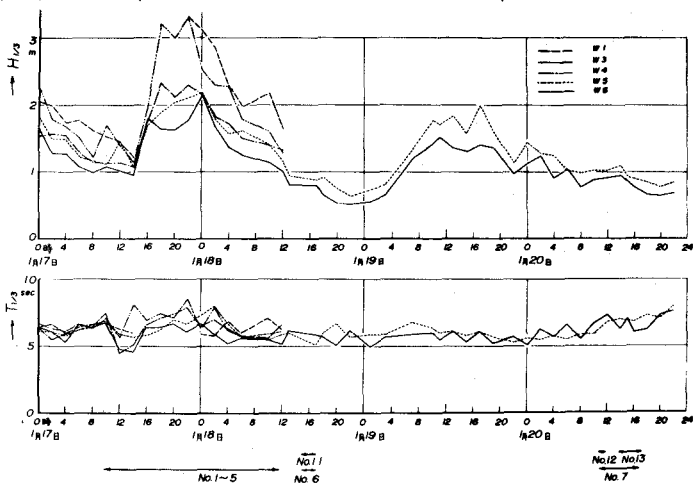


図-4 観測期間中の有義波の特性

布形とはほぼ同じ傾向がみられるのは興味深い。竹竿トラップによる捕砂量と浮遊砂濃度との関連を明らかにするためには、同一地点で同時観測を行なわねばならない。さらに観測期間中の波の条件はほぼ一定であることも必要である。このような条件下になかつた観測期間は図-4からも明らかのように、NO.6と11、NO.7と12、13である。このときの浮遊砂濃度と単位時間あたりの捕砂量との関係を示したのが図-7である。この図の縦軸と横軸は次元がことなるため、直接比較することはできないが、図

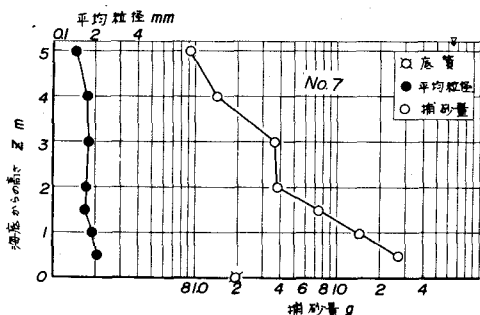


図-5 竹竿トラップによる捕砂量分布の一例

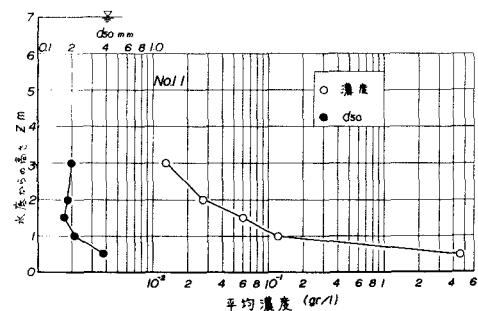


図-6 浮遊砂濃度分布の一例

から明らかなように、捕砂量と浮遊砂濃度との間にほぼ比例関係が存在するようである。もちろん捕砂量は竹竿トラップ投入時間中の積分値を示すものであるから、その時間中に波の条件が変われば浮遊砂濃度も変化すると考えられる。したがって、捕砂量から各時刻における浮遊砂濃度を推定することはできない。こうした問題についてはさらに今後観測を重ね、多くの資料を得ることが必要であるが、同時に福島・柏村³⁾が行なったように、竹竿トラップの捕砂構造を考察することも必要であると思う。

5. 拾散係数 \bar{E}_z について

重複波による実験結果および大潟海岸での実測結果のうち、ばらつきの比較的少ないと思われるものを用いて滑らかな分布曲線を作り、(4)式を一度積分し水面の条件を入れた式

$$\bar{E}_z (\partial \bar{C} / \partial z) + w_0 \bar{C} = 0 \quad (5)$$

から、 \bar{E}_z を計算した。図-8は $h=30\text{cm}$ の場合の実験と大潟海岸での実測(▲印)を用いて計算した \bar{E}_z の値と z/h との関係を示している。なお、図中には本間・堀川によってえられた実験結果および福島海岸でのサン

ドトラップによる実験結果から計算した \bar{E}_z の値も示した。この図から、現地における \bar{E}_z の値は底面近くを除いて、ほぼ 10^2 の order であるが、実験では 1 の order であることがわかる。また底面近くでは著者の実験での値が堀川らのそれよりかなり小さくなっている。この理由の一つは、著者の実験では底面に砂れんがみられなかつたが、堀川の実験では砂れんが重要な役割をはたしていと報告している。結局、底面の砂れんが底近くの乱れに大きな影響を与えていようようであるが、現地での結果では砂れんの影響は小さいようである。

図-9は、 \bar{E}_z に対する水深の効果を示すもので静水面は直接 \bar{E}_z に影響を与えていないようであつて、むしろ図-10に示される無次元量によって表現する方が妥当なようである。この場合には現地の結果もほぼ一致する。

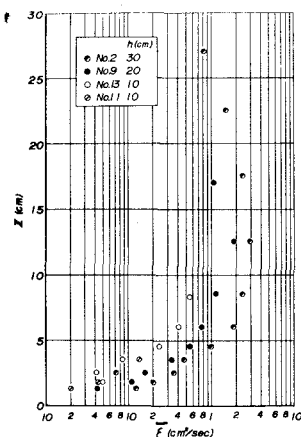


図-9 \bar{E}_z に対する静水面の効果

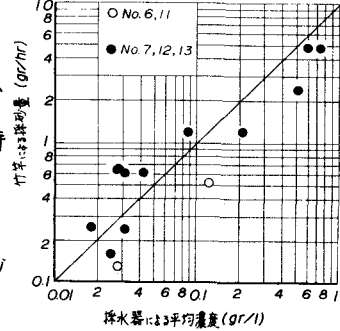


図-7 採砂量と浮遊砂濃度の関係

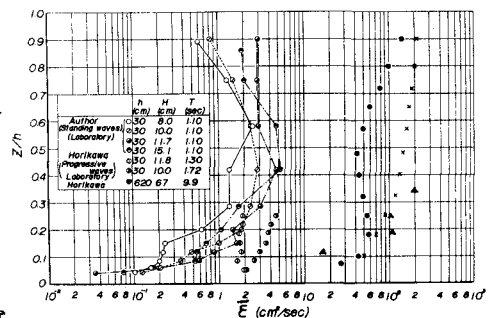


図-8 \bar{E}_z の計算値

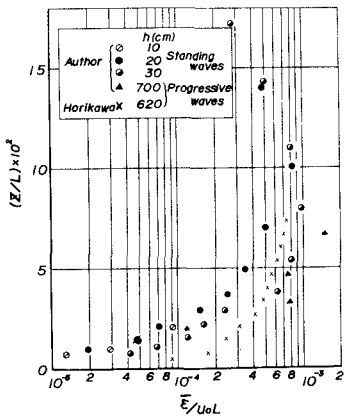


図-10 $\bar{E}_z / U_0 L$ と z/L との関係

1) 本間に・堀川清司ほか：第15, 18, 19, 21回年次学術講演会講演会議録，2) 岸力ほか：第19, 20, 21回年次学術講演会講演会議録概要，3) 福島久雄・柏村正和：第7回海岸工学講習会講演集 pp. 41-45